

**3 Teorem.** Under betingelsenne nedenfor finnes en entydig  $A \in \mathcal{H}(X)$  slik at  $\phi_k(A) = A$ . Videre, for enhver  $B \in \mathcal{H}(X)$  vil  $\phi_k(B) \rightarrow A$  i Hausdorffmetrikken når  $k \rightarrow \infty$ .

**4 Eksempel.** Med  $X = \mathbb{R}$ ,  $\phi_1(x) = x/3$  og  $\phi_2(x) = x/3 + 2/3$  far vi den klassiske Cantor-mengden, som også kan defineres ved at man starter med intervallet  $[0, 1]$ , finner den midtreste treleddelen  $(1/3, 2/3)$ , fjerner den midtreste treleddelen av hvert av de to gevinnerne  $(1/3, 2/3)$ , fjerner man så igjen med de to gevinnerne  $(1/9, 2/9)$  og  $(7/9, 8/9)$  osv. Etter flere trinn med denne intervalliningen, etc. Etter første runde står man altisa igjen med  $[0, 1/3] \cup [2/3, 1]$ , hvorfra man fjerner  $(1/9, 2/9)$  osv. Etter andre runde står man altisa igjen med  $[0, 1/9] \cup [2/9, 1/3] \cup [2/3, 7/9] \cup [8/9, 1]$ . Fra hvert av disse fire delmengdene fjerner man den midtreste treleddelen, osv slik forstørre res intervallene. Etter tredje runde har vi  $[0, 1/27] \cup [16/27, 1/9] \cup [2/9, 10/27] \cup [19/27, 7/9] \cup [16/9, 26/27] \cup [25/27, 1]$ .



Figur 1: Iterasjoner av startmengden  $[0, 1]$  som konvergerer mot Cantormengden.



Figur 2: Iterasjoner av startmengden  $\{1/2\}$  som konvergerer mot Cantormengden.

## Fraktaler og kaos

Harald Hande-Olsen  
hanchegmath.ntnu.no

Sammendrag. Tilleggs til dynamiske systemer 1998. Etter notater av Nils A. Basa. Notatet gir et kort øg megat konstit sammendrag av begrepene rundt fraktaler og kaos i diskrete dynamiske systemer.

## Fraktaler

I dette avsnittet er  $(X, d)$  et komplet metrisk rom. Vi lar  $\mathcal{H}(X)$  bestå av alle ikkeomme kompakte delmengder av  $X$ . I praksis vil vi alltid ha husk at en delmengde av  $\mathbb{R}^n$  er kompakt hvis den er lukket og begrenset.

Vi lar  $\mathcal{H}(X)$  til et metrisk rom ved å definere Hausdorffmetrikkon på  $\mathcal{H}(X)$

$$h(A, B) = \max_{a \in A, b \in B} (\max_{a' \in A} d(a, b), \max_{b' \in B} d(a, b)).$$

**1 Teorem.** Dersom  $X$  er et komplet metrisk rom er  $(\mathcal{H}(X), h)$  et komplet metrisk rom.

Det viser seg at  $\phi$  ikke bare blir kontinuert med  $\max_i r_i$ . En anvendelse blir en kontinuasjon med kontraktionsfaktor  $r \leq \max_i r_i$ . Den siste delen av Banachs flkspunktssats leder umiddelbart til følgende:

$$\phi(E) = \{\phi_i(x) : x \in E\}.$$

$$\phi(E) = \phi_1(E) \cup \phi_2(E) \cup \dots \cup \phi_n(E)$$

Atta det er gitt en endelig mengde av kontaksjoner  $\phi_i : X \rightarrow X$  Den minste  $r$  som oppfyller ulikheten kallas kontraktionsfaktoren.

$$d(f(x), f(y)) \leq r d(x, y) \quad \forall x, y \in X.$$

hantaksjon delesom det finnes  $r$ , med  $0 < r < 1$  slik at

**2 Definisjon.** La  $(X, d)$  være et metrisk rom.  $f : X \rightarrow X$  kallas en kontraktionsfaktor om  $f$  er et kontinuert metrisk rom med  $0 < r < 1$ .

8 Teorem. La  $S_1, S_2, \dots, S_m$  være en ikke-overlappende mængde av similituder i  $\mathbb{R}^n$ ,  $D$  er fractaldimensionen  $D = D^F(A)$  av den associerede kontraktionsfamilie.

erste attraktoren gitt ved

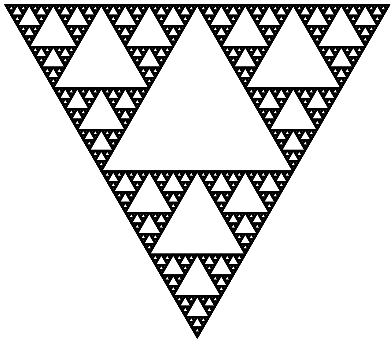
$$\sum_{i=1}^m s_i^D = 1$$

der s<sup>i</sup> er kontraktionsfaktoren til  $S_i$ .

Faktisk viser det seg at kontraktionen i teoremet holder under litt svakere betingelser («just touching»), som vi kaller *overlapingsbetin-*

9 Eksempel. Fraktaldimensionen  $C$  av attraktoren til to ikke-overlap-ende similituder, hver med kontraktionsfaktor  $1/3$ . Så den fractale dimensionen blir gitt ved  $(1/3)^D = 1$ , som gir  $D = \ln 2 / \ln 3$ .

10 Eksempel. Sierpinski-trækantten er attraktoren til tre similituder de oppfyller overlappingsbegrensene nennet i merknaden til teoremet ovenfor.



Figur 3: Sierpinski-trækanten.

5 Definition. La  $A \in \mathcal{A}(X)$ . For gitt  $\epsilon > 0$ , la  $N(\epsilon)$  være det mindste antall kuler med radius  $\epsilon$  som trænger for å dekke  $A$ . Givne sen

$$D^F(A) = \lim_{\epsilon \rightarrow 0} \frac{\ln(N(\epsilon))}{\ln(1/\epsilon)},$$

dersom den eksisterer, kallas *fraktaldimensionen* til  $A$ .

6 Eksempel. For den klassiske Cantormengden  $C$  og for  $\epsilon = 3^{-k}/2$  ser vi at vi kan dekke  $C$  med  $2^k$  kuler av radius  $\epsilon$ , og ikke noe mindre antall vil gjøre det samme. Det er nærliggende å konkludere at Hausdorff-dimensjonen til  $A$  er  $d$ . For hver mængde  $A$  finnes en  $D \geq 0$  slik at  $u_d(A) = 0$  om  $d < D$ . Denne verdien av  $D$  er også definert for ikke-heltallige  $d$ . For hver mængde  $A$  finnes en  $D \geq 0$  slik at  $u_d(A) = 0$  om  $d < D$ ,  $u_d(A) < \infty$  og  $u_d(A) = 0$  om  $d > D$ . Men  $u_d(A)$  lengden av  $A$  (om  $A$  er en kurve),  $u_1(A)$  er antall punkter i  $A$ ,  $u_0(A)$  er mengden av  $A \in \mathbb{R}^n$ , der  $0 \leq d < \infty$ .  $u_0(A)$  er tildrøper et tall  $u_d(A) \in [0, \infty]$  til hver måltær Hausdorff-dimensjonen er imidlertid definert via Hausdorff-målet  $u_d$ , som stemmer overens på svarer mange interessante eksempler.

Et annet mye brukt dimensjonsbegrep som kan gi ikke-heltallige dimensjoner av *Hausdorff-dimensjoner*, som har en noe mer komplisert definisjon. Men den fractale dimensjonen av Hausdorff-dimensjoner defineres på samme måte som kontraktionsfamilien, men har ikke noen kontraktionsfaktor. Denne kontraktionsfaktoren er  $\lambda$ , kontraktionsfaktoren for kontraktionsfamilien. For et ikke-overlappende kontraktionsfamilie med kontraktionsfaktorer  $s_1, s_2, \dots, s_m$  er kontraktionsfaktoren til kontraktionsfamilien  $\lambda = \min(s_1, s_2, \dots, s_m)$ .

7 Definition. En *similitude* i  $\mathbb{R}^n$  er en kontraktions som er sett samme av krympning, rotasjoner, translasjoner og refleksjoner.

En krympning er en dilatasjon  $\phi(x) = ax$  der  $0 < a < 1$ .

Når  $i \neq j$ , hvor  $A$  er attraktoren til  $\{\phi_1, \dots, \phi_m\}$ .

Vi sier at  $\{\phi_1, \dots, \phi_m\}$  er *ikke-overlappende* om  $\phi_i(A) \cap \phi_j(A) = \emptyset$ .

og dette stemmer også. (Du må bruke at  $N(\epsilon_1) \geq N(\epsilon_2)$  når  $\epsilon_1 \leq \epsilon_2$  for å komplettere beviset.)

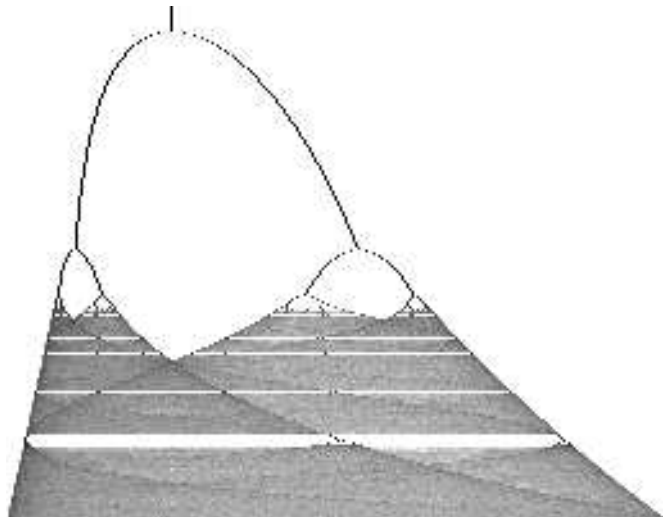
$$D^F(C) = \lim_{\epsilon \rightarrow 0} \frac{\ln(3^k \cdot 2)}{\ln 2} = \lim_{\epsilon \rightarrow 0} \frac{k \ln 3 + \ln 2}{\ln 2} = \frac{\ln 3}{\ln 2},$$

og dette stemmer også. (Du må bruke at  $N(\epsilon_1) \geq N(\epsilon_2)$  når  $\epsilon_1 \leq \epsilon_2$  for å komplettere beviset.)

<http://www.math.ntnu.no/~haache/kurs/dynsys/1997v/verhulst.html> til en slik ved å lime sammen punktene 0 og 1. Alternativt kunne vi til en slik ved å diskontinuerig. Egentlig skulle vi lage intervallene  $J_n$  er riktingen f diskontinuerig. Kortere ganger av iterasjonen. Figuren finnes også i farver, med betydelig bedre kvalitet enn her, på følgende URL:

til 3 (oversikt), og x fra 0 (venstre side) til 4/3 (høyre side). For hver r-verdi er  $(f^k(x_0), r)$  plottet inn i figurern for  $k = 5000, \dots, 9095$ . Mørke punkter er truffet flere ganger av iterasjonen.

Figur 4. Verhulsts dynamiske system. Her viserer r fra 1,95 (nederst)



er det klassiske eksemplet på hvordan genetatt periodefordobling leder til kaos.

$$f_r(x) = (1+r)x - rx^2,$$

Bifurkasjoner til kaos. Verhulsts dynamiske system, gitt ved

16 Eksempel. Funksjonen  $f: [0, 1] \rightarrow [0, 1]$  git ved  $f(x) = 4x(1-x)$  er kaotisk, men dette krever noe mer argumentasjon.

17 Eksempel. Funksjonen  $f: \mathbb{C} \rightarrow \mathbb{C}$  med  $|z| = 1\}$  i det komplekse plan ved  $f(z) = z^2$  (som simpeltthen fordobler vinkelen).

Vi begrenser oss her til diskrete endimensjonale systemer. La  $f$  være et interval.

Når r ikke kommer spesielt nede i  $V$ , er  $f$  ikke et passende interval i  $V$ .

$f_k(U) \cup V \neq \emptyset$ . Med andre ord, det finnes minst ett punkt i  $U$  som for alle ikke kommer spesielt nede i  $V$  av  $f$  finnes en k slik at under et passende tall intervaler av  $f$  beveger seg inn i  $V$ .

$$f(x) = \begin{cases} 2x & (x < 1/2) \\ 2x - 1 & (x \geq 1/2) \end{cases}$$

Set variabel til  $x$ :

15 Eksempel. At denne funksjonen er kaotisk på  $J = [0, 1]$  er ikke regulært i og med at det finnes periodiske punkter «nesten overalt». Et kaotisk system er fortroligbart i det lange løp (sensitivitet), kan ikke dekomponeres i underystemer (transitivitet), men har en visse sensitivitet i oversiktspunktene (periodiske punkter).

- de periodiske punktene til  $f$  er tett i  $J$ .
- $f$  er transitiv,
- $f$  er sensitivitet svært svært av initialdata,

14 Definition. En funksjon  $f: J \rightarrow J$  kalles kaotisk dersom:

13 Definition. Et punkt  $x_0 \in J$  kalles periodisk dersom det finnes et tall  $k \geq 1$  slik at  $f^k(x_0) = x_0$ .

Intuitivt: «Det finnes punkter vi ikke nær  $x$  som under iterasjon blir separert minst en avstand  $\delta$ .»

$$|f^k(x) - f^k(y)| < \delta.$$

N om  $x$  finnes  $y \in N$  og  $k > 0$  slik at initialdata dersom det finnes en  $\delta > 0$  slik at for hver  $x \in J$  og omegn  $N$  om  $x$  finnes  $y \in N$  og  $k > 0$  slik at

12 Definition. En funksjon  $f: J \rightarrow J$  kalles sensitivitet avhengig dersom det for alle ikke kommer spesielt nede i  $V$  av  $f$  finnes en  $k$  slik at  $f^k(U) \cup V \neq \emptyset$ . Med andre ord, det finnes minst ett punkt i  $U$  som ikke kommer spesielt nede i  $V$  av  $f$  finnes en  $k$  slik at under et passende tall intervaler av  $f$  beveger seg inn i  $V$ .

Kaos Vi begrenser oss her til diskrete endimensjonale systemer. La  $f$  være et interval.

skyldes en trykkfeil som har spredt seg i litteraturen.  
 $\lambda$  av til ser man verdien 4.669201660910 ... for Feigenbaum konstanten. Dette

$er(h_{-} \circ f_3 \circ h)(x) = 4x(1-x)$ .  
 $[0,4/3]$  som er ekvivalent med Eksempl 16: Om vi settet  $h(x) = 4x/3$   
 For  $r = 3$  (helt på oppen av figuren) har vi et dynamisk system på  
 har kaos i sjen.

I alle tilfeller går denne funksjonen nye periodefordoblinger til man  
 oppgap for visse intervaller, der  $r$  i disse intervallene gir en ny stabili  
 et interval slik vi har definert det her. Man kan også se at det dukker  
 når  $r$  har vokst forbi  $\lim_{k \rightarrow \infty} r_k$ , blir systemet kaotisk, men ikke på  
 denne måten ved variasjon av en parameter.<sup>1</sup>

$$\lim_{k \rightarrow \infty} r_{k+2} - r_{k+1} = 4.669201609102990671853 \dots$$

av spesiell interesse: Det viser seg at  
 lenge mellom avstanden mellom påverende følgende bifurkasjoner er  
 ustabil og gi opphav til en stabil sykl med periode  $2^{k+1}$ . Forholdet  
 $2 = r^0 < r_1 < r_2 < \dots$ : Ved  $r_k$  vil en stabil sykl med periode  $2^k$  bli  
 en stabil 4-sykkel. Slike bifurkasjoner skjer gjerne før verdier  
 det den stabile 2-syklen som blir ustabil, men samtidig gir opphav til  
 gjenere. For en større  $r$ -verdi skjer en ny bifurkasjon: Denne gangen er  
 I figuren vises dette ved at den vertikale linjen nedest (x = 1) deler i to  
 punktene

$$x = \frac{1}{r} + \frac{1}{2} \pm \sqrt{\frac{1}{4} - \frac{1}{r}}.$$

$x = 1$  mens det oppstår en stabil sykl med periode 2 mellom de to  
 Det stabile fiks punktet i  $x = 1$  blir til et ustabil fiks punkt (fortsett  
 ustabilitet for  $r > 2$ . Det  $r$  vokser forbi 2 oppstår en særskilt bifurkasjon:  
 $f'$ , har to fiks punkter, 0 og 1. For  $r > 0$  er alltid fiks punktet i 0  
 ustabilit (| $f'(0)| > 1$ ) mens fiks punktet i 1 er stabilt for  $0 < r < 2$  og